

669、046、58 : 532、612、4 : 546、41-31 : 546、284-31
 S 92 : 546、623-31

(92) 溶融 $\text{CaO}-\text{SiO}_2-\text{Al}_2\text{O}_3$ 系の表面張力

70368

金属材料技術研究所 ○ 横 武弘 部司好喜

1. 緒言

溶融スラグの表面張力は、スラグの foaming, 溶鉄とスラグのめり、介在物の凝集、浮上など鉄鋼精錬プロセスに現れる諸現象の解明に必要な基本的性質の一つである。にもかからず、系統的精度の高い測定は至らぬ少なし。本研究は、鉄鋼精錬プロセスの基本的スラグである $\text{CaO}-\text{SiO}_2-\text{Al}_2\text{O}_3$ 系の表面張力を測定したものである。

2. 実験方法

本研究では、高温でもかなり正確な値が得られると考えられる最大気泡圧法によつて測定した。白金管 (Pt-Rh(40%)) を使用し、零圧気、気泡発生用ガスにはアルゴンを用いた。内径 1 mm の Pt-Rh(20%) 合金製の毛細管を、Pt-Rh(20%) 合金製坩堝に溶融したスラグ中に浸漬した。浸漬深度を変化させ、約 60 秒に一回の割合で気泡を発生させた時にジップルフタレート圧力計に現れる最大圧力をカセットメータで読み、Shrödinger の式によつて表面張力の値を算出した。

CaO/SiO_2 が $1/9$, 1 , $9/11$, $2/3$, $7/9$, $1/3$, $1/4$ なる母スラグをあらかじめ溶融し、これに Al_2O_3 を順次添加してゆく方法により、 $\text{CaO}-\text{SiO}_2-\text{Al}_2\text{O}_3$ 系状態圖との触点が 1500°C 以下にならるスラグの表面張力を 1550° , 1600°C の各温度で測定した。

3. 結果

測定結果の一節を図 1 に示す。図から明らかのように、1) Al_2O_3 が一定の時は、 SiO_2/CaO の増加するにしたがつて表面張力はいちじるしく減少する。2) SiO_2/CaO が一定の時は、 Al_2O_3 の増加とともに 1 部の例外を除くと表面張力は若干増大する。3) 温度の影響はあまり顕著でない。4) 表面張力の温度係数は負である。図 1 で $\text{SiO}_2/\text{CaO} = 2/3$, $\text{Al}_2\text{O}_3 5\%$ のスラグの表面張力が高くなるのは、この組成範囲が固液共存領域に近く、いかでる懸濁状態にあるためではないかと推定される。

従来の研究結果と比較すると、1), 2), 3) は定性的には一致している。1) は本來表面張力の大小は SiO_2 が増加するのに従うとされ、2) は表面張力の大きさは Al_2O_3 の増加および SiO_2 の相対的減少によるものであろう。3) は 4) とも関連あるが、 SiO_2/CaO 比が増加するにしたがつてその影響が小さくなることは注目に値する。

元素珪酸塩では SiO_2 の増加とともに温度係数が負から正に変わるという報告もあるが、元素にも同様の現象があるのかも知れぬ。元素では温度係数が正の場合と負の場合の報告があり、気泡発生用ガスによつても変化するという報告もある。

本研究では一応温度係数が負であるという結果になつたが、狭い温度範囲での測定であるので、はつきりした結論を得るには更に広い温度範囲における測定が必要である。

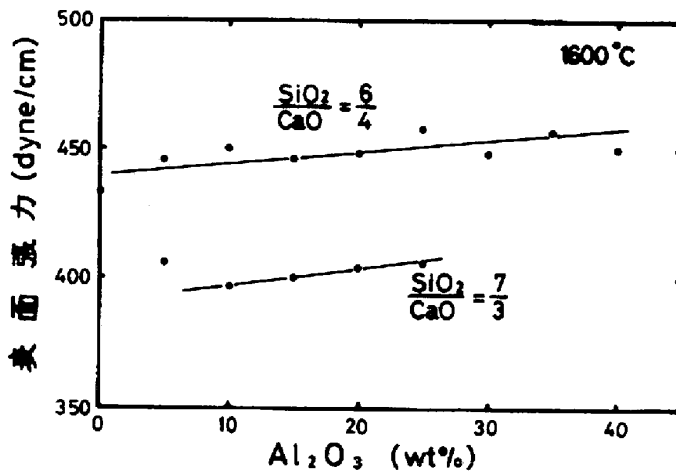


図 1 スラグの表面張力に及ぼす Al_2O_3 の影響